

二段円柱の周辺流特性と 洗掘軽減杭による流れの変化

パシフィック C. 正面○松井 弘
株式会社白石 藤田 宏一
〃 〃 小田 韶治
宇都宮大工学部 繁賀 兼三

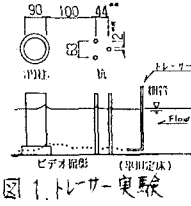
1.はじめに

古くに建設された橋脚の中には、横断する河川の河床低下等の影響により橋脚の基礎(フーティング)が露出してしまって、橋脚が一樣な断面形状と見なせない場合を見受けられる。このような橋脚の周辺流れ及び洗掘特性は從来より研究がなされており、一樣断面の橋脚のそれらとは異なる事が予想される。本報では、このような不連続な断面形状を持つ橋脚を対象として次の事項について実験を基に考察を行なった。

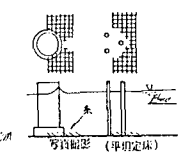
- ①不連続断面形状の橋脚をモデル化した二段円柱を用ひ橋脚周辺流れの特性を一樣円柱と比較を行なつて調べる。
- ②橋脚周辺洗掘の軽減を目的とする杭(洗掘軽減杭)を橋脚前面に数本設置した場合の周辺流れの変化を観察する。

2. 実験概要 実験は、3の目的により次の二方法より成る。

(1)トレーサーを用いた実験 フーティング前面及び橋脚前面に発生する馬蹄型渦に巻き込まれる流れの範囲と巻き込まれる流れの頻度とトレーサーを観察より調べる事を目的とする。トレーサーは、methyl-benzen + normal-hexaneの混合液を比重1になるように調整着色したものであり、この混合液は、水に不溶の為に水中では直径1mm程度の粒状となる。



(2)木による実験 水路底面附近の馬蹄型渦の範囲及び流向を調べる事を目的とする。薄い透明ビニールに1cmの等間隔で木をぬりつけこれを水路底面に張りつけ、木の方向により橋脚周辺の流向を調べる。



(3)実験条件 橋脚直径(D): 4.5cm, フーティング直径(F): 6.70cm, 4.0cm, 杭直径(d): 0.6cm
木深(H): 9.0, 18.0cm, $Fr = 0.2$, $Re = \frac{UH}{\nu} = 1.7 \times 10^4$

3. 馬蹄型渦の形成 橋脚前面に発生する馬蹄型渦は、接近流の流速分布に起因する流れの渦度が橋脚前面で集積したものと言われる。従って、二段円柱を流れの中に置いた場合には、フーティングが水路底からの突出高さにより、それに当る流れの流速分布が異なる為に、橋脚前面やフーティング前面に発生する馬蹄型渦の強さ、範囲が異なる事が予想される。図3に一樣円柱の場合の馬蹄型渦に巻き込まれる粒子の割合の分布形状を示す。これによると馬蹄型渦を形成する流れの範囲は、対称軸上より-1Dから+1Dの範囲で、対称軸上付近が卓越している事がわかる。また、杭を設置することで、馬蹄型渦が弱まり渦に巻き込まれる粒子の割合が減少していく。

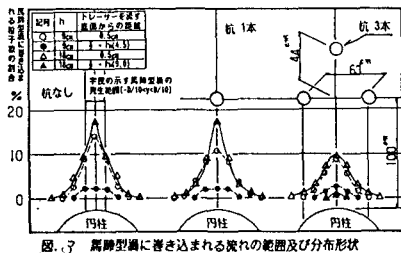


図3 馬蹄型渦に巻き込まれる流れの範囲及び分布形状

図4に二段円柱のフーティング前面の馬蹄型渦に巻き込まれる粒子割合の対称軸方向の分布を示す。これによるとフーティングの高さによらず、水路底面附近の粒子が渦に巻き込まれる率が最も高く、水面に向うに従がる率が低くなっている。また、トレーサーを流す水路底からの高さ(zt)とフーティングの高さ(zs)との比(zt/zs)と渦に巻き込まれる粒子率を見ると、zt/zsが大きい程、zt/zs(トレーサーを流す相対位置)の大きい程の粒子が渦に巻き込まれる率が高くなっている事がわかる。仮に、橋脚前面に発生する馬蹄型渦(zs)とフーティング前面がされ(zt)とが独立ならば、zt/zs > 1.0、zt/zsに巻き込まれる粒子はゼロとなる。

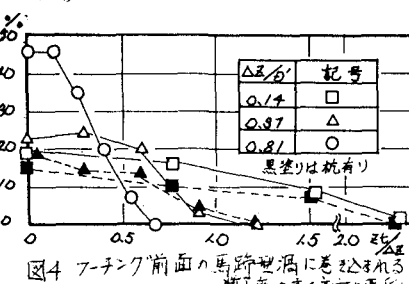
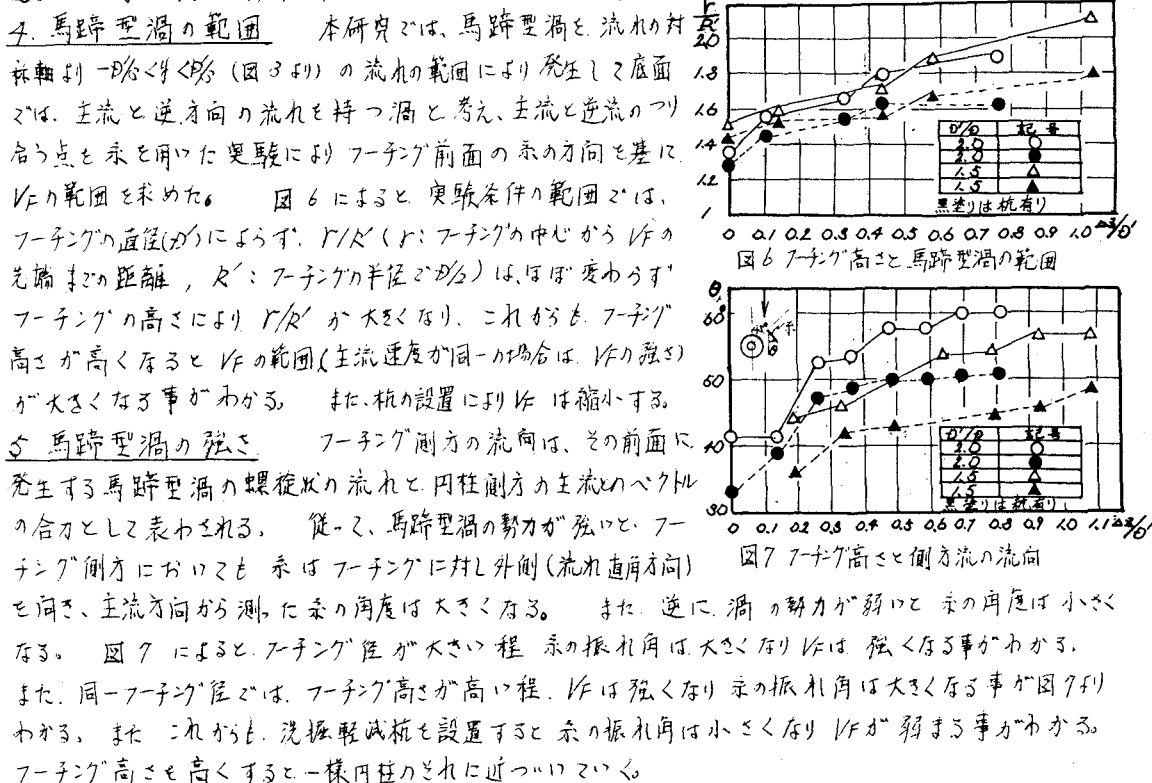


図4 フーティング前面へ馬蹄型渦に巻き込まれる粒子率の対称軸方向の変化

$A_2/D = 0.14$ を見ると $Z_2/D = 2.3$ でゼロになってしまふ。従つて、
 V_F と V_P は互に独立ではなく、フーチング高さが小さくなる程 V_F (フーチング前面に発生する馬蹄型渦) に V_P (橋脚前面に発生する馬蹄型渦) が干渉し、 $Z_2/D > 1$ (フーチング高さより高い位置) の粒子まごもか V_F に巻き込まれてゐる事と考えられる。図 5 に、橋脚前面の馬蹄型渦に巻き込まれる粒子率の対称軸上鉛直分布を示す。例えば 図 5 に、橋脚前面の馬蹄型渦に巻き込まれる粒子率の対称軸上鉛直分布を示す。例えば $A_2/D = 0.14$ (図中 □印) の場合 V_F に巻き込まれる粒子が $Z_2/D < 2.3$ の広い範囲内に V_P (橋脚前面の馬蹄型渦) に巻き込まれる粒子は、少なくなつてゐる。また $A_2/D = 0.37$ の場合 (図中 △印)、 V_F に巻き込まれる粒子が $Z_2/D < 1$ の範囲で V_F に巻き込まれてゐるが、 V_P には $Z_2/D = 1.2$ 高い率で粒子が巻き込まれてゐる事が図 4 と図 5 よりわかる。また、橋脚前面の馬蹄型渦とフーチング前面とは、互に干渉し、フーチング高さ及び航速等多くの要因がこれらに関係してゐると考えられる。また、橋脚前面に図 1 に示すような洗撫軽減を目的とする杭を設置すると前の後流拡散により、流速分布が一様化される為に渦に巻き込まれる粒子の割合が減少する事がわかる。またこれにより洗撫軽減効果が期待できる。



6.まとめ

- (1) フーチング前面に発生する馬蹄型渦を構成する流れは、対称軸上附近が最も多く、また、鉛直方向には水路床附近が最も多く上面に向かって従がる減少する。
 - (2) フーチングの高さが高くなる程、フーチング前面の馬蹄型渦は強く、その範囲も大きい。
 - (3) 橋脚前面の馬蹄型渦とフーチング前面のそれとは互に干渉して強さが決まる。
 - (4) 杭を設置するとフーチングの高さにかからず、馬蹄型渦が弱まる事がわかる。
- 今後は、洗撫実験により二段円柱に守る洗撫軽減杭の効果を調べる事を課題とした。
- 参考文献 (1) 林井、猪俣：円柱周辺流の不規則乱れに対する杭の効果、1987年2月 水理講演会